На правах рукописи

### ДУРНЕВ МИХАИЛ ВАСИЛЬЕВИЧ

# ЭЛЕКТРОННЫЕ СОСТОЯНИЯ И НЕЛИНЕЙНЫЙ ТРАНСПОРТ В ДВУМЕРНЫХ ДИРАКОВСКИХ МАТЕРИАЛАХ

Специальность 1.3.11 – физика полупроводников

### $ABTOPE\Phi EPAT$

диссертации на соискание ученой степени доктора физико-математических наук

Санкт-Петербург 2024

Работа выполнена в Федеральном государственном бюджетном учреждении науки Физико-техническом институте им. А. Ф. Иоффе Российской академии наук

Официальные оппоненты:

**Фирсов Дмитрий Анатольевич**, доктор физико-математических наук, профессор, Высшая инженерно-физическая школа Института электроники и телекоммуникаций Санкт-Петербургского политехнического университета Петра Великого

**Бурмистров Игорь Сергеевич**, доктор физико-математических наук, профессор, Институт теоретической физики им. Л.Д. Ландау Российской академии наук, заместитель директора

**Мельников Александр Сергеевич**, доктор физико-математических наук, профессор, Институт физики микроструктур РАН, заведующий отдела физики сверхпроводников

Ведущая организация: Федеральное государственное бюджетное учреждение науки Институт физики полупроводников им. А.В. Ржанова Сибирского отделения Российской академии наук

Защита состоится <u>27 марта</u> 2025 г. в <u>11 часов 00 минут на заседании диссертационного совета  $\Phi$ ТИ 34.01.02  $\Phi$ ТИ им. А. Ф. Иоффе по адресу: 194021, Санкт-Петербург, ул. Политехническая, 26.</u>

С диссертацией можно ознакомиться в библиотеке  $\Phi$ ТИ им. А.  $\Phi$ . Иоффе и на сайте института www.ioffe.ru

Отзывы об автореферате в двух экземплярах, заверенные печатью, просьба высылать по вышеуказанному адресу на имя ученого секретаря диссертационного совета.

Сорокин Л. М.

Автореферат разослан «\_\_\_\_» \_\_\_ 202 г. Ученый секретарь диссертационного совета доктор физико-математических наук

# Общая характеристика работы

В начале XXI века в физике конденсированного состояния начало формироваться новое направление, связанное с изучением двумерных кристаллических систем, в которых низкоэнергетические электронные возбуждения описываются уравнением, аналогичным уравнению Дирака [1]. Наиболее известным представителем этого класса является графен, открытие которого заложило основу для создания физики двумерных кристаллов и гетероструктур на их основе [2, 3]. Другим ярким примером дираковских материалов являются квантовые ямы HgTe/CdHgTe, в которых впервые экспериментально обнаружены топологические краевые состояния [4]. В зависимости от ширины и состава квантовой ямы в таких структурах могут быть реализованы различные электронные фазы, включающие в себя тривиальный и топологический изоляторы, двумерный бесщелевой полупроводник и двумерный полуметалл [5].

Транспортные и оптические свойства двумерных дираковских материалов определяются структурой волновых функций и энергетического спектра объёмных и краевых состояний носителей заряда. Решающее влияние на эту структуру оказывает кристаллическое строение рассматриваемых систем, а также внешние электрические и магнитные поля и деформации. В частности, понижение симметрии сопровождается модификацией спиновой структуры электронных состояний, что существенно отражается на энергетическом спектре и особенностях электрон-фотонного взаимодействия, и может приводить к качественно новым физическим эффектам.

Важное фундаментальное и прикладное значение имеют исследования фотоотклика двумерных дираковских фермионов на падающее электромагнитное поле, в том числе инфракрасного и терагерцового диапазонов. Нелинейные эффекты второго порядка по падающему полю, такие как генерация фототоков и второй гармоники, возникают в структурах без центра пространственной инверсии и находят применение для изучения кристаллической симметрии, упаковки и закручен-

ности атомарно тонких полупроводников и гетероструктур на их основе [6], а также в фотодетекторах и фотопреобразователях [7]. В образцах микро- и наноразмеров пространственная симметрия естественным образом нарушается на краях, что приводит к дополнительному, краевому, механизму нелинейности второго порядка. Примечательно, что соответствующие краевые эффекты возникают уже при нормальном падении излучения и не требуют отсутствия центра инверсии в кристаллической решётке. С учётом возрастающей роли краёв при уменьшении размеров образца краевые эффекты могут определять фотоотклик таких структур.

Исследование поляризационно зависимого фотоотклика кристаллических сред — фотогальваническая спектроскопия — представляет особый интерес в топологических изоляторах, поскольку фототоки, связанные с краями, можно экспериментально отделить от фототоков, индуцированных в объёме образца. Таким образом, анализ фототоков позволяет получить информацию о спиновой структуре, а также особенностях электрон-фотонного взаимодействия и процессов релаксации энергии, импульса и спина краевых состояний.

Сказанное выше определяет актуальность темы диссертации.

**Целью работы** является теоретическое исследование структуры электронных состояний и нелинейных транспортных и оптических эффектов в двумерных дираковских материалах: квантовых ямах HgTe/CdHgTe, графене и монослоях дихалькогенидов переходных металлов, индуцированных их кристаллическим строением и наличием краёв.

Научная новизна и практическая значимость работы состоит в разработке теории фундаментальных физических явлений, ярко проявляющихся в двумерных дираковских системах: тонкой структуры дираковских конусов в квантовых ямах HgTe/CdHgTe; анизотропного эффекта Зеемана для краевых состояний в двумерных топологических изоляторах; краевого фотогальванического эффекта и эффекта увлечения при оптических переходах между спиральными краевыми состояниями; генерации краевого фототока в режиме квантового эффекта Холла; нелинейного краевого транспорта свободных носителей заряда в проводящих двумерных системах; краевого эффекта генерации второй гармоники; фотоиндуцированных эффектов Холла и Фарадея в двумерном электронном газе.

#### Основные положения выносимые на защиту:

- Количество и положение точек Вейля в электронном спектре квантовых ям HgTe/CdHgTe вблизи топологического перехода определяется кристаллографической ориентацией и профилем потенциала квантовой ямы.
- 2. Эффект Зеемана для краевых состояний двумерных топологических изоляторов на основе квантовой ямы HgTe/CdHgTe обладает сильной анизотропией как по отношению к оси роста, так и в плоскости квантовой ямы.
- 3. Оптические переходы между спиновыми ветвями краевых состояний двумерных топологических изоляторов без центра инверсии разрешены в электрическом дипольном приближении.
- 4. Межзонное поглощение излучения вблизи края двумерных дираковских материалов индуцирует краевой ток, направление которого определяется поляризацией излучения.
- 5. При возбуждении края двумерного электронного газа переменным электромагнитным полем возникает электрический ток на удвоенной частоте, и как следствие, излучается вторая гармоника.
- 6. Накачка двумерного электронного газа циркулярно поляризованным терагерцовым излучением приводит к вращению плоскости линейной поляризации зондирующего луча. Доминирующий вклад во вращение обусловлен фотоиндуцированной недиагональной компонентой тензора электронной проводимости.

**Апробация работы**. Результаты исследований, вошедших в диссертацию, докладывались на международной конференции "Spin

physics, spin chemistry and spin technology" (Санкт-Петербург, 2015), международном семинаре "Spintronics Days in Bilbao" (Бильбао, Испания, 2015), 8-ой зимней школе по оптоэлектронике и фотонике "Topolight 2015" (Фаи-делла-Паганелла, Италия, 2015), 33-ей международной конференции по физике полупроводников ICPS-2016 (Пекин, Китай, 2016), международном симпозиуме "Nanostructures: Physics and Technology" (Санкт-Петербург, 2016), XIII, XIV и XV Российских конференциях по физике полупроводников (Екатеринбург, 2017; Новосибирск, 2019; Нижний Новгород, 2022), Международных зимних школах по физике полупроводников (Санкт-Петербург, 2017, 2023), XXII и XXIV Уральских международных зимних школах по физике полупроводников (Екатеринбург, 2018, 2022), 23-ей международной конференции по высоким магнитным полям в полупроводниковой физике (Тулуза, Франция, 2018), Совещаниях по теории твёрдого тела (Санкт-Петербург, 2019, 2021, 2023), Летней школе для молодых учёных "Взаимодействие между излучением и квантовой материей" (Москва, 2019), XXIV симпозиуме "Нанофизика и наноэлектроника" (Нижний Новгород, 2020), XIX Всероссийской конференции "Проблемы физики твёрдого тела и высоких давлений" (Сочи, 2020), 24-ой международной конференции по электронным свойствам двумерных систем EP2DS-24 (онлайн, организатор – университет г. Токио, Япония, 2021), VI международной конференции по метаматериалам и нанофотонике Metanano-2021 (онлайн, организатор – университет ИТМО, Санкт-Петербург, 2021). Результаты исследований обсуждались также на семинарах ФТИ им. А.Ф. Иоффе, Санкт-Петербургского государственного университета, Института теоретической физики им. Л.Д. Ландау РАН (Черноголовка, Московская область), Института физики твёрдого тела РАН (Черноголовка, Московская область), университетов Тулузы (Франция) и Регенсбурга (Германия). Основное содержание диссертации опубликовано в 18 научных статьях.

Структура и объем диссертации. Диссертация состоит из Введения, пяти глав, Заключения и списка литературы. Она содержит 204 страницы текста, включая 56 рисунков и 6 таблиц. Список цитируемой

## Содержание работы

Во Введении обоснована актуальность проведенных исследований, сформулированы цель и научная новизна работы, перечислены основные положения, выносимые на защиту, а также кратко изложено содержание диссертации.

Первая глава «Теория тонкой структуры электронных состояний в квантовых ямах HgTe/CdHgTe» посвящена теоретическому исследованию тонкой структуры объёмных (двумерных) и краевых электронных состояний в квантовых ямах HgTe/CdHgTe. Обзор работ по этой тематике представлен в §1.1. Центросимметричные модели квантовых ям HgTe/CdHgTe предсказывают двукратное вырождение дираковского конуса и, соответственно, четырёхкратное вырождение дираковской точки в ямах критической ширины ( $d_c \approx 7$  нм) [8]. Объёмная инверсионная асимметрия (ВІА), связанная с отсутствием центра инверсии в решётке цинковой обманки, интерфейсная инверсионная асимметрия (IIA), связанная с анизотропией химических связей на интерфейсах квантовой ямы, а также структурная инверсионная асимметрия (SIA) приводят к снятию этого вырождения [9–13]. Численные расчёты и экспериментальные данные показывают, что расщепление состояний с волновым вектором k=0 достигает больших значений в квантовых ямах кристаллографической ориентации (001) [13, 14]. Многие эксперименты, однако, выполняются на структурах HgTe/CdHgTe, выращенных не только вдоль [001], но и вдоль низкосимметричных кристаллографических направлений, таких как [013] и [012]. В связи с этим актуальна задача о расчёте тонкой структуры дираковских состояний в квантовых ямах HgTe/CdHgTe различной кристаллографической ориентации.

В  $\S 1.2$  исследовано расщепление спектра двумерных дираковских фермионов в квантовых ямах HgTe/CdHgTe критической и близкой к критической толщины в нулевом магнитном поле. Рассмотрены ямы с кристаллографической ориентацией вида (0lh), где l и h — индексы

Миллера, и в общем случае, асимметричным гетеропотенциалом. Показано, что при  $\mathbf{k}=0$  интерфейсная, объёмная и структурная инверсионная асимметрия квантовой ямы приводят к следующему вкладу в эффективный гамильтониан электрона [A4]:

$$\mathcal{H} = \begin{pmatrix} 0 & -\eta_{\theta} + i\chi_{\theta} & 0 & i\gamma_{\theta} + \zeta_{\theta} \\ -\eta_{\theta} - i\chi_{\theta} & 0 & i\gamma_{\theta} + \zeta_{\theta} & 0 \\ 0 & -i\gamma_{\theta} + \zeta_{\theta} & 0 & \eta_{\theta} + i\chi_{\theta} \\ -i\gamma_{\theta} + \zeta_{\theta} & 0 & \eta_{\theta} - i\chi_{\theta} & 0 \end{pmatrix} . \tag{1}$$

Здесь  $\gamma_{\theta}=\gamma\cos2\theta,\ \eta_{\theta}=\eta\sin2\theta,\ \zeta_{\theta}=\zeta\sin^22\theta$  и  $\chi_{\theta}=\chi\sin4\theta,$  вещественные параметры  $\eta,\ \gamma,\ \chi$  и  $\zeta$  описывают смешивание базисных состояний, и  $\theta=\arctan(l/h)$  — угол между осью роста квантовой ямы [0lh] и осью [001]. Гамильтониан (1) записан в базисе функций  $|E1,+\rangle,|H1,+\rangle,|E1,-\rangle,|H1,-\rangle,$  образованных состояниями  $|\Gamma_{6},m\rangle$   $(m=\pm1/2)$  и  $|\Gamma_{8},m\rangle$   $(m=\pm1/2,\,\pm3/2)$  в центре объёмной зоны Бриллюэна [15]. Параметры смешивания  $\gamma$  и  $\eta$  отвечают за интерфейсную и объёмную асимметрию ямы, а параметры  $\chi$  и  $\zeta$  – за структурную асимметрию. Параметры  $\chi$  и  $\zeta$  отличны от нуля только при одновременном учёте асимметрии гетеропотенциала и кубической гофрировки спектра валентной зоны.

На рис. 1 схематически показаны энергетические спектры двумерных дираковских фермионов в асимметричных квантовых ямах (001), (013) и (011) критической ширины с учётом вкладов IIA, ВІА и SIA. Ориентация (001) соответствует  $\theta=0$ . В этом случае спектр имеет вид двух невырожденных (вейлевских) конусов, сдвинутых друг относительно друга по энергии. Вейлевские точки расположены при  $\mathbf{k}=0$  и энергиях  $\varepsilon=\pm\gamma$ . Ориентация (011) соответствует  $\theta=\pi/4$ . В спектре таких ям есть четыре вейлевские точки: две с нулевой энергией и две с энергиями  $\varepsilon=\pm\sqrt{\zeta_{\theta}^2+\eta_{\theta}^2}$ . Спектр квантовой ямы (013) и ям произвольной ориентации (01h) показан на центральной панели рис. 1. Так же как и в ямах (011), спектр содержит четыре вейлевские точки. Примечательно, что положение вейлевских точек с нулевой энергией не привязано к определённому направлению в  $\mathbf{k}$ -пространстве. Угол между ли-

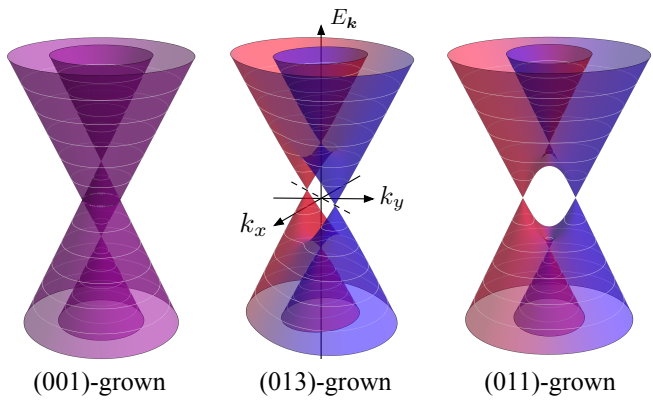


Рис. 1: Энергетические спектры двумерных дираковских фермионов в квантовых ямах HgTe/CdHgTe критической ширины с кристаллографическими ориентациями (001), (013) и (011) при наличии интерфейсной, объёмной и структурной асимметрии. Спектры построены для  $\gamma=\eta=\zeta=\chi$ . Цветом изображена проекция псевдоспина  $\sigma_z$  на нормаль квантовой ямы: синий и красный цвета отвечают, соответственно,  $\sigma_z=-1$  и  $\sigma_z=+1$ , фиолетовый –  $\sigma_z=0$ .

нией, соединяющей вейлевские точки, и осью  $k_x$ , равный  $\arctan(\eta_\theta/\chi_\theta)$ , зависит от параметра структурной асимметрии и, следовательно, его величиной можно управлять с помощью внешнего электрического поля, направленного по нормали к квантовой яме. Менять величину электрического поля можно, например, с помощью напряжения на затворе образца.

В §1.2.3 параметры  $\eta$ ,  $\gamma$ ,  $\chi$  и  $\zeta$  рассчитаны в рамках 6-зонной  ${\pmb k}\cdot {\pmb p}$  модели, включающей состояния зон  $\Gamma_6$  и  $\Gamma_8$  объёмных кристаллов HgTe и CdTe. Для квантовых ям HgTe/Cd<sub>0.7</sub>Hg<sub>0.3</sub>Te критической ширины  ${\pmb k}\cdot {\pmb p}$  теория дает следующие оценки:  $\eta,\gamma\sim 5$  мэВ и  $\zeta,\chi\sim 0.1$  мэВ в электрическом поле  $E_z=15$  кВ/см [A4]. Оценки показывают, что основной вклад в  $\gamma$  и  $\eta$  связан со смешиванием состояний тяжёлых и лёгких дырок на интерфейсах квантовых ям с решёткой цинковой обманки [13, 16].

Инверсионная асимметрия квантовых ям HgTe/CdHgTe оказывает существенное влияние и на спектр спиральных краевых состояний, которые ответственны за возникновение квантового спинового эффекта Холла в ямах с шириной, больше критической [4]. В §1.3 рассчитаны

волновые функции и энергетическая дисперсия спиральных состояний в симметричных квантовых ямах кристаллографической ориентации (001). Краевые состояния характеризуются волновым вектором  $k_u$ , направленным вдоль края, и псевдоспином  $s = \pm 1/2$ , который нумерует дисперсионные ветви. Волновые функции спиральных состояний с противоположными значениями волнового вектора и псевдоспина  $\psi_{k_n s}$  и  $\psi_{-k_{n},-s}$  связаны симметрией по отношению к инверсии времени, и поэтому имеют одинаковую энергию (крамерсово вырождение). В §1.3.2 получены аналитические выражения для  $\psi_{k_y s}$  вблизи  $k_y = 0$ . Показано, что при учёте инверсионной асимметрии квантовой ямы волновые функции краевых состояний являются линейной суперпозицией всех четырёх базисных функций – как с положительной ( $|E1, +\rangle$ ,  $|H1, +\rangle$ ), так и с отрицательной ( $|E1,-\rangle$ ,  $|H1,-\rangle$ ) проекцией псевдоспина. Электронная плотность затухает вглубь квантовой ямы, испытывая пространственные осцилляции, период которых определяется параметром смешивания  $\gamma$ .

При малых  $k_y$  дисперсия краевых состояний линейна по волновому вектору  $\varepsilon_{k_ys}=2s\hbar v k_y,$  где

$$v = \frac{A}{\hbar} \frac{|\delta| \varkappa^2}{\Delta} \tag{2}$$

— скорость электронов в краевом канале,  $\Delta = \sqrt{\varkappa^2\delta^2 + \gamma^2}$ ,  $\varkappa = \sqrt{(B^2 - D^2)/B^2}$ , A, B, D и  $\delta$  — зонные параметры. Величина  $2|\delta|$  равна ширине запрещённой зоны в спектре объёмных (двумерных) электронов: в топологической фазе  $\delta < 0$ . Параметр A описывает линейное по  $\boldsymbol{k}$  смешивание базисных функций  $|E1,\pm\rangle$  и  $|H1,\pm\rangle$ , параметры B и D ответственны за квадратичные по волновому вектору диагональные слагаемые в гамильтониане ( $D \neq 0$  нарушает электрон-дырочную симметрию спектра). Инверсионная асимметрия квантовой ямы ( $\gamma \neq 0$ ) приводит к тому, что скорость v зависит от  $\delta$ , и следовательно, от толщины квантовой ямы.

В §1.4 рассмотрены новые эффекты, возникающие в спиральных каналах в присутствии магнитного поля. В §1.4.1 рассчитан спектр объёмных уровней Ландау в магнитном поле, параллельном оси роста ямы.

В §1.4.2 показано, что эффективный зеемановский гамильтониан пары краевых состояний  $\{\psi_{k_y,+1/2},\psi_{k_y,-1/2}\}$  в малых магнитных полях имеет вид

$$\mathcal{H}_{\text{edge}}^{(B)} = \frac{\mu_B}{2} \sum_{\alpha, \beta = x, y, z} g_{\alpha\beta} \sigma_{\alpha} B_{\beta} , \qquad (3)$$

где  $g_{\alpha\beta}$  – тензор g-фактора краевых состояний,  $\sigma_{\alpha}$  – матрицы Паули,  $\mathbf{B}=(B_x,B_y,B_z)$  – магнитное поле и  $\mu_B$  – магнетон Бора, и рассчитаны компоненты тензора  $g_{\alpha\beta}$  для произвольной кристаллографической ориентации края. В частности, для края, параллельного направлениям  $\langle 010 \rangle$ , три ненулевые компоненты тензора  $g_{\alpha\beta}$  имеют вид [A5]:

$$g_{xx} = \frac{c_1 g_e - c_2 g_h}{2} , \ g_{yy} = \frac{\left(c_1 g_e + c_2 g_h\right) |\delta| \varkappa}{2\Delta} , \ g_{yz} = \frac{2m_0 A^2}{\hbar^2} \frac{\gamma |\delta| \varkappa^2}{\Delta^3} . \quad (4)$$

Здесь  $g_e$  и  $g_h$  – g-факторы двумерных состояний  $|E1\rangle$  и  $|H1\rangle$  для магнитного поля, лежащего в плоскости квантовой ямы,  $|g_h| \ll |g_e|$ ,  $c_1 = (B-D)/B$ ,  $c_2 = (B+D)/B$  и  $m_0$  – масса свободного электрона.

Из выражений (4) следует, что эффект Зеемана для краевых состояний обладает сильной анизотропией во всех трёх пространственных направлениях. В частности, д-фактор в магнитном поле, параллельном краю  $(B \parallel y)$ , подавлен в меру множителя  $|\delta| \varkappa / \Delta$  по сравнению с qфактором в поле  $B \parallel x$ . Это приводит к осцилляциям величины щели в спектре краевых состояний при вращении магнитного поля, лежащего в плоскости ямы, рис. 2. Инверсионная асимметрия, учтённая в (4), качественно меняет поведение краевых состояний и в магнитном поле, параллельном оси роста квантовой ямы, приводя к открытию щели даже в малых полях. Соответствующая компонента g-фактора  $g_{yz}$  имеет орбитальную природу. Оценки по формуле (4) дают  $g_{yz} \sim 100$ , что на порядок превышает значения компонент в плоскости  $g_{xx}$  и  $g_{yy}$ . Такая гигантская анизотропия g-фактора для направлений  $B \parallel z$  и  $B \perp z$  подтверждается в экспериментах по магнитотранспорту при сверхнизких температурах. Так, в работе [17] обнаружено, что продольное магнитное поле  $(B \parallel z)$  приводит к подавлению проводимости по краевым каналам за счёт открытия зеемановской щели, тогда как влияние поперечного магнитного поля ( $B \perp z$ ) на проводимость значительно слабее. В §1.4.2 также проанализирован переход квантовой ямы в режим квантового эффекта Холла с трансформацией спиральных краевых состояний в киральные [A2].

Оптические исследования краевых каналов топологических изоляторов открывают дополнительные возможности по изучению спиновой структуры краевых состояний и особенностей электронфотонного взаимодействия. Во второй главе «Фотогальванические эффекты в краевых каналах двумерных топологических изоляторов» изучены переходы между краевыми состояниями под действием электромагнитного поля и механизмы генерации фототока в краевых каналах. В §2.1 приведён обзор современного состояния исследований транспортных и оптических свойств крае-

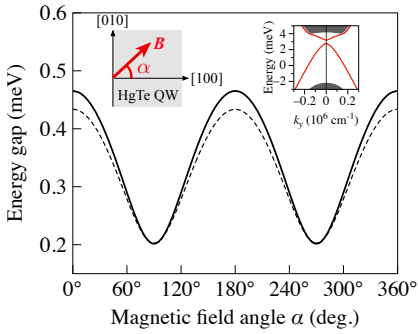


Рис. 2: Щель в спектре краевых состояний как функция угла  $\alpha$  между магнитным полем, лежащим в плоскости ямы и нормалью к краю. Сплошной кривой показан численный расчёт в полоске конечной ширины, штриховой – аналитический расчёт с использованием g-факторов (4). На вставке показаны изучаемая геометрия и энергетический спектр при  $\alpha=0$ . Параметры соответствуют квантовой яме  ${\rm HgTe/Hg_{0.3}Cd_{0.7}Te}$ ,  $\delta=-4$  мэВ, B=3 Т.

вых каналов. В §2.2 приведено феноменологическое описание линейного и циркулярного фотогальванического эффекта и эффекта фотонного увлечения, возникающих на краях различной кристаллографической симметрии.

В §2.3 рассмотрены механизмы прямых оптических переходов с переворотом спина в спиральном краевом канале и построена теория краевого фотогальванического эффекта и эффекта увлечения, возникающих при таких переходах. Прямые оптические переходы между краевыми состояниями с проекциями псевдоспина  $s=\pm 1/2$ , см. рис. 3(а), имеют место, когда  $\hbar\omega > 2|\varepsilon_F|$ , где  $\hbar\omega$  — энергия падающего фотона и  $\varepsilon_F$  — энергия Ферми, отсчитанная от дираковской точки. Ранее считалось, что такие оптические переходы возможны

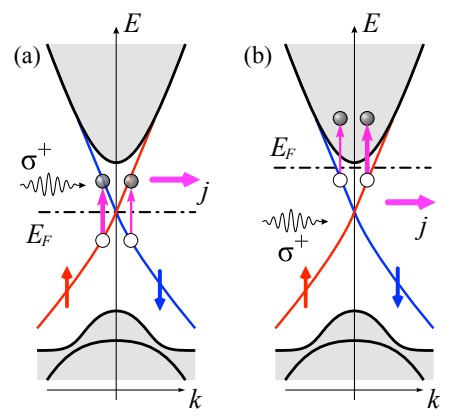


Рис. 3: Схема генерации краевых фототоков в двумерном топологическом изоляторе, вызванных прямыми оптическими переходами между (а) краевыми состояниями со спином «вниз» и «вверх» и (b) краевыми и объёмными состояниями.

только при учёте взаимодействия спина краевых электронов с магнитным полем  $\boldsymbol{B}(t)$  падающей электромагнитной волны (спиновый магнитный дипольный механизм) [18, 19]. В §2.3.1 показано, что благодаря отсутствию центра инверсии в квантовой яме с решёткой цинковой обманки оптические переходы идут и в рамках более сильного, электрического дипольного механизма электронфотонного взаимодействия. Соответствующий гамильтониан имеет вид  $\mathcal{H}_{\mathrm{edge}}^{(m{E})} = -m{d}\cdotm{E}(t),$  где  $m{E}(t)$ – электрическое поле волны и d –

оператор электрического дипольного момента, компоненты которого в базисе  $\psi_{k_y,\pm 1/2}$  при малых  $k_y$  имеют вид [А3]:

$$d_x = (\sigma_y \cos 2\beta - \sigma_x \sin 2\beta) D_1 k_y ,$$
  

$$d_y = (\sigma_x \cos 2\beta + \sigma_y \sin 2\beta) D_2 k_y ,$$
 (5)

где  $D_1$  и  $D_2$  – вещественные параметры и  $\beta$  – угол между краем и осью [010]. В симметричной яме (001) параметры  $D_1$  и  $D_2$  пропорциональны константе межзонного смешивания  $\gamma$  в гамильтониане (1), которая отражает отсутствие центра инверсии в яме. Получены аналитические выражения для  $D_1$  и  $D_2$  в пределе  $|\gamma/\delta| \ll 1$  [A5], а также численные оценки для квантовой ямы HgTe/Cd<sub>0.7</sub>Hg<sub>0.3</sub>Te:  $|D_1/e| \approx 7 \times 10^{-13}$  см<sup>2</sup> и  $|D_2/e| \approx 1.5 \times 10^{-12}$  см<sup>2</sup>, где e – заряд электрона.

Из правил отбора (5) следует, что поглощение излучения в краевых каналах при рассматриваемых переходах чувствительно к поляризации падающего излучения. Отношение темпов поглощения для излучения, поляризованного вдоль края  $(e \parallel y)$  и перпендикулярно краю  $(e \parallel x)$ , даётся величиной  $(D_2/D_1)^2$ , равной  $\approx 4$  для квантовых ям

 ${
m HgTe/Cd_{0.7}Hg_{0.3}Te.}$  Благодаря интерференции электрического и магнитного дипольных механизмов, поглощение в структурах, не содержащих плоскостей зеркального отражения, содержит также вклад, чувствительный к спиральности падающих фотонов (циркулярный дихроизм).

Асимметрия оптических переходов для состояний с волновыми векторами  $k_y$  и  $-k_y$ , показанных стрелками различной толщины на рис. 3(a), приводит к спиновой поляризации электронов и, как следствие, генерации фототока в краевом канале. В §2.3.2 получены аналитические выражения для краевого фототока и проанализирована его поляризационная зависимость. Показано, что есть два вклада в фототок. Первый из них, наибольший по величине, пропорционален степени циркулярной поляризации падающего излучения и возникает в электрическом дипольном приближении. В условиях стационарного возбуждения циркулярный фототок имеет вид

$$j_y^{\text{(circ)}} = -\frac{4e\tau vw}{\hbar\omega} \frac{D_1 D_2}{D_1^2 + D_2^2} I P_{\text{circ}} ,$$
 (6)

где w=W/I — ширина поглощения краевого канала, W — энергия, поглощённая в единицу времени единицей длины края, I — интенсивность падающего излучения,  $\tau$  — время релаксации импульса (и спина) электронов в краевом канале, и  $P_{\rm circ}$  — степень циркулярной поляризации. Второй вклад вызван интерференцией электрических и магнитных дипольных переходов и возникает при освещении края линейно поляризованным или неполяризованным излучением. Соответствующий ток зависит от ориентации края по отношению к кристаллографическим осям и ориентации плоскости поляризации излучения по отношению к краю. Этот ток принадлежит к классу линейного эффекта фотонного увлечения, при этом направление тока перпендикулярно волновому вектору падающего фотона. Для излучения с интенсивностью 1 кВт/см² и энергией фотона 4 мэВ величина фотогальванического тока составляет порядка нескольких нА, а тока увлечения — десятков пА.

Помимо оптических переходов внутри краевого канала, рассмотренных выше, существуют также переходы между краевыми и объёмны-

ми состояниями, приводящие к фотоионизации краевых каналов [19— 21], рис. 3(b). Оптические переходы из краевого канала в зону проводимости идут при условии  $\hbar\omega > \varepsilon_c - \varepsilon_F$ , в то время как переходы из валентной зоны в краевой канал включаются при  $\hbar\omega > \varepsilon_F - \varepsilon_v$ , где  $\varepsilon_c$  и  $\varepsilon_v$  – энергии дна зоны проводимости и потолка валентной зоны. Переходы между краевыми и объёмными состояниями разрешены в электрическом дипольном приближении уже в рамках изотропной модели Берневига-Хьюза-Жанга [15] и поэтому являются доминирующим механизмом поглощения, если энергия фотона достаточно велика. В §2.4 рассчитан циркулярный краевой фототок, связанный с фотоионизацией краевых каналов. Также проанализированы экспериментальные данные по краевым фототокам, полученные в структурах с квантовой ямой  $Hg_{0.3}Cd_{0.7}Te/HgTe/Hg_{0.3}Cd_{0.7}Te$  шириной 8 нм (фаза топологического изолятора) в Терагерцовом центре университета г. Регенсбург [А1]. Квантовая яма возбуждалась циркулярно поляризованным излучением терагерцового диапазона с энергией фотона, меньшей ширины запрещённой зоны. В результате анализа эффективности различных механизмов генерации тока установлено, что фототок вызван преимущественно фотоионизацией краевых состояний. Сравнение экспериментальных данных и результатов расчёта приведено на рис. 4. Как видно, теория хорошо описывает зависимости фототока от уровня Ферми (и соответственно, от напряжения на затворе образца) и частоты падающего излучения, а также даёт близкие к экспериментальным величины фототока.

Другой класс краевых состояний – киральные краевые каналы – возникает в двумерных проводящих системах в сильном магнитном поле в режиме квантового эффекта Холла. В классификации топологических изоляторов такие системы принадлежат к классу  $\mathbb{Z}$ , в то время как рассмотренные выше топологические изоляторы в нулевом магнитном поле – к классу  $\mathbb{Z}_2$  [22]. Как показано в §2.5, взаимодействие киральных каналов с терагерцовым излучением также приводит к генерации краевых фототоков. В условиях, когда энергия фотона меньше расстояния между соседними уровнями Ландау, появление фототока связано

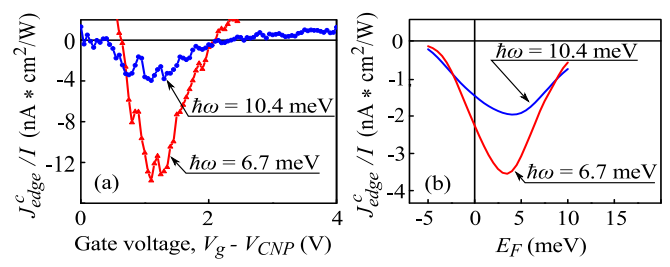


Рис. 4: (а) Циркулярные краевые фототоки, измеренные в структурах с квантовой ямой  $Hg_{0.3}Cd_{0.7}Te/HgTe/Hg_{0.3}Cd_{0.7}Te$  шириной 8 нм (фаза топологического изолятора), как функции напряжения на затворе образца. (b) Рассчитанные зависимости фототока в условиях фотоионизации краевых каналов от положения уровня Ферми при двух различных энергиях падающих фотонов. Энергия Ферми отсчитывается от дираковской точки. Из работы [A1].

с непрямыми оптическими переходами внутри кирального канала. Сохранение импульса при таких переходах обеспечивается за счёт рассеяния на статических примесях или фононах. В результате оптического перехода электроны с начальной скоростью  $v_1$  под уровнем Ферми переходят в состояния со скоростью  $v_2$  над уровнем Ферми. Разница в скоростях  $v_1$  и  $v_2$ , связанная с дисперсией краевых состояний, приводит к генерации электрического тока вдоль края образца. Краевые фототоки в режиме квантового эффекта Холла наблюдались в образцах на основе графена, в котором значительное расстояние между уровнями Ландау  $\sim 5$  мэВ достигается уже в слабых полях  $\sim 0.2$  Т [A7]. Развитая теория позволила объяснить характерные особенности измеренного фототока - смену направления тока при смене знака магнитного поля и нечувствительность направления тока к типу носителей заряда (электроны или дырки) в киральных каналах. Расчёты показали, что оптические переходы внутри кирального канала чувствительны к направлению электрического поля относительно края - переходы подавлены для поля, поляризованного перпендикулярно краю. Такой линейный дихроизм киральных каналов объясняет измеренную в эксперименте поляризационную зависимость краевого фототока. Сравнение эксперимента и теории позволило оценить время релаксации  $au_{\mathrm{edge}}$  электронных возбуждений в киральном краевом канале  $au_{\rm edge}/ au\sim 10^2$ , где  $\tau$  — время релаксации импульса носителей заряда в нулевом магнитном поле вблизи края графена.

Ярким представителем двумерных дираковских материалов являются атомарно тонкие слои дихалькогенидов переходных металлов  $(\Pi \Pi M) MX_2$ , где M – атом металла Mo, W, ..., и <math>X – атом халькогена S, Se, ... [23, 24]. Интерес к этим материалам связан с сильным кулоновским взаимодействием носителей заряда в монослоях, обусловленным как большой эффективной массой, так и подавленным диэлектрическим экранированием, и необычными правилами отбора при оптических переходах – переходы в долинах  $K_{+}$  и  $K_{-}$  активны в поляризациях  $\sigma_{+}$ и  $\sigma_{-}$ , соответственно. **Третья глава** «Электронные состояния и фотогальванический эффект при межзонных переходах в двумерных кристаллах» посвящена теоретическому исследованию зонной структуры и эффекта Зеемана в монослоях ДПМ, а также краевого фотогальванического эффекта, возникающего в них и в других двумерных дираковских материалах при межзонных оптических переходах. В §3.1 обсуждается двухзонный гамильтониан дираковского типа  $\mathcal{H} = a\boldsymbol{\sigma} \cdot \boldsymbol{p} + \delta \sigma_z$ , где  $\boldsymbol{p}=(p_x,p_y)$  – импульс электрона, a – межзонный матричный элемент оператора скорости и  $2\delta$  – величина энергетической щели. Такой гамильтониан применяется для описания низкоэнергетических возбуждений в широком классе двумерных материалов, включая квантовые ямы HgTe/CdHgTe близкой к критической ширины, графен и монослои ДПМ.

Несмотря на то, что двухзонная модель достаточна для расчёта темпов оптических переходов и тонкой структуры оптически активных экситонных состояний, она не учитывает несколько важных особенностей монослоёв ДПМ, в том числе асимметрию дисперсии электрона и дырки в K-долинах и отсутствие центра пространственной инверсии. В рамках двухзонной модели также равны по величине g-факторы зоны проводимости и валентной зоны и, соответственно, отсутствует расщепление спиновых уровней экситона в магнитном поле, направленном по нормали к монослою, что противоречит экспериментальным данным [25]. В разделе §3.2 построена многозонная  $k \cdot p$ -модель электронных состо-

яний в монослоях ДПМ, которая позволяет учесть указанные особенности. В §3.2.1 приведён симметрийный анализ электронных состояний в K-долинах, а в §3.2.2 построен эффективный гамильтониан 6-зонной k-p-модели, которая учитывает смешивание состояний основной зоны проводимости и валентной зоны с состояниями из других близких по энергии зон. В §3.2.3 с помощью полученного гамильтониана рассчитаны g-факторы электрона и дырки в магнитном поле, направленном по нормали к монослою. На основе сопоставления расчетов в методе функционала плотности, эмпирической модели сильной связи и k-p-методе получены параметры 6-зонной k-p-модели для атомарно тонких кристаллов  $MoS_2$ ,  $MoSe_2$ ,  $WS_2$  и  $WSe_2$  [A10].

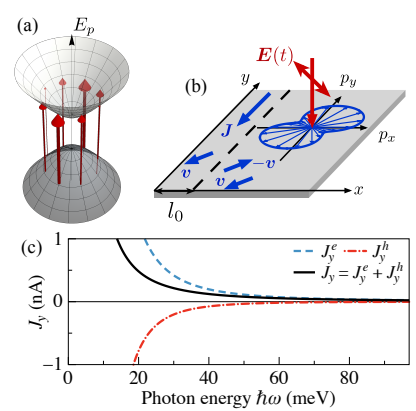


Рис. 5: (а) Оптическое выстраивание импульсов электронов и дырок в двумерном дираковском материале при межзонных переходах. (b) Механизм краевого фотогальванического эффекта. (c) Рассчитанные спектры возбуждения электронной  $J_y^e$  и дырочной  $J_y^h$  составляющей краевого фототока и полный краевой ток  $J_y$  в графото

В §3.3 изучены краевые фототоки в двумерных дираковских материалах, возникающие при межзонных оптических переходах под действием линейно поляризованного излучения. В §3.3.1 рассчитан темп межзонных переходов и показано, что поглощение линейно поляризованного излучения приводит к выстраиванию импульсов фотоиндуцированных электронов и дырок, рис. 5(а). Выстраивание возникает за счёт того, что вероятность оптических переходов зависит от взаимной ориентации электрического поля  ${m E}$  и импульса носителя заряда p [26, 27]. В частности,

в системах с дираковским спектром, переходы между состояниями с импульсом p, перпендикулярным вектору E, идут с большей скоростью, чем переходы между состояниями с импульсом p, направленном вдоль поля. Такая чувствительность поглощения к ориентации поля приводит

к формированию анизотропной функции распределения электронов и дырок, описывающейся второй угловой гармоникой в импульсном пространстве, см. синюю кривую на рис. 5(b).

Теория краевого фотогальванического эффекта при межзонных переходах развита в §3.3.2. Распределение фотоиндуцированных электронов и дырок чётно по импульсу p, поэтому ток в объёме двумерной структуры равен нулю. Однако, рассеяние оптически выстроенных электронов и дырок на краю создаёт локальную асимметрию функции распределения в p-пространстве и приводит, тем самым, к генерации постоянного тока J, рис. 5(b). Этот ток вызван носителями заряда, которые были созданы излучением на расстоянии, меньшем или порядка длины свободного пробега  $l_0$  от края, и равен [A12]

$$J_y^{e/h} = \pm \frac{e\eta a^2 (1 + \zeta_{e/h}) l_{e/h}^2 p_*^2}{2(\hbar\omega)^3} \Theta(\hbar\omega - 2\delta) I(e_x e_y^* + e_y e_x^*), \qquad (7)$$

где  $\eta$  – коэффициент поглощения двумерной системы при  $\hbar\omega\gg2\delta,\,p_*$  – импульс фотоиндуцированных электронов и дырок,  $l_{e/h}$  – длина свободного пробега электрона/дырки,  $\zeta_{e/h}$  – безразмерный параметр, определяющий характер рассеяния на крае,  $\Theta$  – функция Хевисайда, I – интенсивность и e – вектор поляризации падающего излучения. Как следует из уравнения (7), фототок имеет ярко выраженную поляризационную зависимость: он течёт в противоположных направлениях для излучения, поляризованного под углами  $\pm\pi/4$  к краю, и исчезает, когда излучение поляризовано вдоль или перпендикулярно краю. Рассмотренный механизм генерации краевых фототоков схож с механизмом поверхностного фотогальванического эффекта, который наблюдался в объёмных полупроводниковых кристаллах и металлических плёнках [28–32].

На рис. 5(c) приведены спектры возбуждения краевого фототока, рассчитанные с помощью (7), в бесщелевом дираковском материале. Параметры зонной структуры и время релаксации, использованные в расчёте, соответствуют графену высокого качества. Для длины свободного пробега 1  $\mu$ м и энергии фотона 20 мэВ фототок, нормированный на интенсивность падающего излучения, имеет порядок 1 нА см²/Вт.

В §3.3.3 рассмотрено влияние магнитного поля, направленного вдоль нормали к двумерному слою, на краевой фотогальванический эффект. Показано, что в присутствии магнитного поля краевые фототоки могут возбуждаться также излучением, поляризованным вдоль или перпендикулярно к краю. Магнитоиндуцированный вклад в фототок имеет одинаковый знак для электронов и дырок, и следовательно, суммарный электрической ток отличен от нуля даже в системах, обладающих электрон-дырочной симметрией.

В §3.3.4 рассчитано распределение плотности фототока и интегральный ток в полоске конечной ширины. Показано, что интегральный фототок растёт с ростом ширины полоски в узких полосках и насыщается при ширине полоски порядка нескольких длин свободного пробега. Это позволяет значительно усилить фотоотклик, используя структуры, состоящие из массива узких полосок. Оценки показывают, что суммарный ток в образце размером  $3 \times 3 \text{ мм}^2$ , состоящем из  $10^3$  полосок, может достигать  $1 \mu \text{A cm}^2/\text{Bt}$  в терагерцовом спектральном диапазоне. Такие структуры, основанные на двумерных дираковских материалах, могут быть использованы в качестве быстрых детекторов терагерцового и инфракрасного излучения и его поляризации.

Четвёртая глава «Краевые нелинейные эффекты в двумерных проводящих системах» посвящена исследованию генерации краевых фототоков и второй гармоники в двумерных системах со свободными носителями заряда в условиях внутризонного транспорта. Рассмотренные в этой главе явления связаны с высокочастотным нелинейным транспортом электронов и дырок в присутствии переменного электрического поля в классическом режиме  $\hbar\omega \ll \varepsilon_F$ . В §4.1 приведён обзор теоретических и экспериментальных работ по нелинейным транспортным эффектам в двумерных системах. В §4.2 построена последовательная теория краевых фототоков, возникающих в двумерном электронном газе с параболическим законом дисперсии, в том числе — в присутствии внешнего магнитного поля  $B \parallel z$ . Возникновение постоянного краевого тока в проводящих системах можно интерпретировать как результат выпрямления переменного тока на краю образца. Микроскопиче-

ски такое выпрямление связано с двумя механизмами. Первый из них обусловлен динамическим накоплением электрического заряда вблизи края. Компонента электрического поля  $E(t) = E e^{-i\omega t} + E^* e^{i\omega t}$  падающего излучения, перпендикулярная краю  $(E_x)$ , приводит к осцилляциям электронной плотности вблизи края образца. В свою очередь, компонента поля, параллельная краю  $(E_y)$ , продвигает электроны вдоль края с той же частотой. В результате, в среднем, возникает постоянный электрический ток, протекающий вблизи края внутри полоски с шириной, определяемой длиной экранирования высокочастотного электрического поля. Второй вклад в фототок связан с выстраиванием импульсов свободных носителей заряда при внутризонном поглощении высокочастотного электрического поля и аналогичен механизму для межзонных оптических переходов, рассмотренному в главе 3.

В §4.2.1 в рамках кинетической теории Больцмана получены аналитические выражения для интегрального тока, протекающего вдоль края двумерного электронного газа с параболическим спектром энергии и короткодействующими примесями (время релаксации угловых гармоник функции распределения  $\tau$  не зависит от энергии). В пределе, когда частота возбуждающего поля много больше циклотронной частоты, краевой фототок имеет вид [А8]

$$J_{y} = \frac{ne^{3}\tau^{3}|\mathbf{E}|^{2}}{m^{2}(1+\omega^{2}\tau^{2})} \left[ \frac{2\omega_{c}\tau}{1+\omega^{2}\tau^{2}} - \frac{S_{3}}{\omega\tau} - \frac{S_{2}}{1+4\omega_{c}^{2}\tau^{2}} + \frac{2\omega_{c}\tau(2+\omega^{2}\tau^{2})S_{1}}{(1+4\omega_{c}^{2}\tau^{2})(1+\omega^{2}\tau^{2})} \right]. \quad (8)$$

Здесь n – концентрация носителей заряда, m – эффективная масса,  $\omega_c=eB_z/(mc)$  – циклотронная частота, c – скорость света,  $S_1=|e_x|^2-|e_y|^2$ ,  $S_2=e_xe_y^*+e_ye_x^*$  и  $S_3=\mathrm{i}(e_xe_y^*-e_ye_x^*)=P_{\mathrm{circ}}$  – параметры Стокса. Из (8) следует, что в нулевом магнитном поле ( $\omega_c=0$ ) краевой ток возбуждается циркулярно поляризованным излучением и линейно поляризованным излучением с ненулевым параметром Стокса  $S_2$ . Приложение магнитного поля, нормального к плоскости электронного газа, приводит к появлению вклада, пропорционального параметру Стокса  $S_1$ , а также поляризационно независимого вклада в фототок.

В §4.2.2 выполнено сравнение теории с экспериментальными данными по краевым фототокам, полученными в образцах на основе двуслойного графена. Освещение образцов, оснащённых затвором и группой контактов по периметру, линейно поляризованным излучением терагерцового диапазона приводило к генерации фотонапряжения между различными парами контактов [А8]. Анализ поляризационной зависимости и знаков сигналов, полученных для соседних краёв, позволил заключить, что измеренное фотонапряжение связано именно с краевыми, а не с объёмными токами. Измеренный в эксперименте фотоотклик качественно и количественно описывается формулой (8). Измеренная в нулевом магнитном поле поляризационая зависимость фотонапряжения  $U \propto \sin 2\alpha$ , где  $\alpha$  – угол ориентации вектора электрического поля относительно края образца, согласуется с предсказанием теории  $J_y \propto S_2 = \sin 2\alpha$ . Зависимость  $J_y \propto e^3$  объясняет наблюдаемую смену знака фототока при переходе от электронной (e < 0) к дырочной (е > 0) проводимости. В эксперименте использовались образцы квадратной формы маленького размера, так что лазер полностью засвечивал образец. В этом случае падающее излучение возбуждает фототоки на всех четырёх краях образца, направление которых определяется ориентацией вектора e относительно края. Непрерывность полного тока при этом обеспечивается за счёт растекания тока в проводящей толще образца. Рассчитанное распределение электростатического потенциала в образце количественно согласуется с измеренными величинами. При приложении небольшого магнитного поля, перпендикулярного к образцу, измеренная поляризационная зависимость фотонапряжения сдвигалась по фазе на зависящий от магнитного поля угол  $\theta_B$ . Из (8) при  $\omega \tau \gg 1$  следует, что  $\theta_B = \arctan(2\omega_c \tau)$ , что согласуется с экспериментальными наблюдениями.

В §4.3 теория краевого фототока обобщена на случай произвольного закона энергетической дисперсии  $\varepsilon(p)$  двумерных электронов и произвольного типа рассеивающих примесей. Полученные аналитические выражения для краевого фототока определяются временами релаксации первой и второй угловых гармоник функции распределения и их произ-

водным по энергии. Из них следует, что и направление, и величина тока в значительной степени определяются механизмом рассеяния [A15].

В §4.4 показано, что краевой фотоотклик усиливается в магнитных полях вблизи циклотронного резонанса  $\omega \approx |\omega_c|$ . На рис. 6 представлен результат расчёта краевого тока как функции магнитного поля. В нулевом магнитном поле краевые токи, возбуждаемые волнами, поляризованными по правому и левому кругу, имеют одинаковую амплитуду и текут в противоположных направлениях, рис. 6(а).

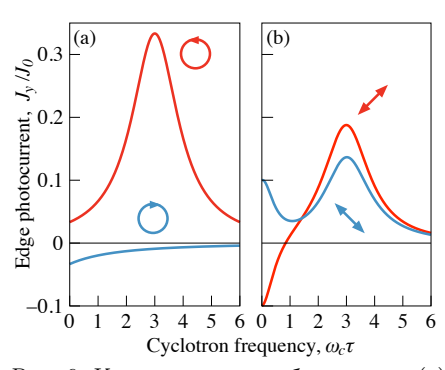


Рис. 6: Краевые токи, возбуждаемые (а) циркулярно поляризованным и (b) линейно поляризованным полем, как функции постоянного магнитного поля, перпендикулярного плоскости электронного газа. Зависимости рассчитаны для  $\omega \tau = 3$  и нормированы на  $J_0 = ne^3 \tau^3 |\mathbf{E}|^2/m^2$ .

Приложение магнитного поля приводит к уменьшению краевого тока для одной циркулярной поляризации ( $\sigma^{+}$  или  $\sigma^{-}$  в зависимости от направления  $\boldsymbol{B}$ ) и к резонансному увеличению тока для противоположной циркулярной поляризации. Для линейно поляризованного излучения, рис. 6(b), в нулевом магнитном поле направление тока определяется ориентацией электрического поля падающей волны относительно края, в то время как в резонансе направление тока определяется знаком магнитного поля, а

амплитуда тока слабо зависит от поляризации. Предсказанный циклотронный резонанс в краевом токе был экспериментально обнаружен и описан в работе [A13].

Нелинейность высокочастотного отклика электронов вблизи края приводит также к возникновению электрического тока на удвоенной частоте, т.е. генерации второй гармоники. Ранее, в экспериментальных работах [33, 34], наблюдалось искажение сигнала второй гармоники в оптическом диапазоне на краю нецентросимметричных кристаллов. Эффект связывался со структурным искажением – реконструкцией – края.

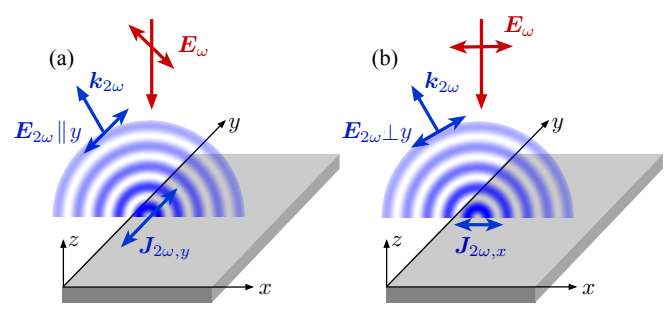


Рис. 7: Генерация второй гармоники на краю двумерного электронного газа. (a) Падающее поле  $E_{\omega}$  с отличными от нуля x- и y-компонентами индуцирует ток вдоль края  $J_{2\omega,y} \propto E_{\omega,x} E_{\omega,y}$ , который излучает волну на удвоенной частоте с  $E_{2\omega} \parallel y$ . (b) Падающее поле  $E_{\omega} \parallel x$  индуцирует краевой ток, перпендикулярный краю,  $J_{2\omega,x} \propto E_{\omega,x}^2$ , при этом поле излучаемой волны  $E_{2\omega} \perp y$ .

Однако даже в средах с центром инверсии пространственная симметрия естественным образом нарушается на краю, поэтому край (в том числе, атомарно гладкий и обладающий трансляционной симметрией) сам по себе может являться источником генерации второй гармоники.

Теория краевого эффекта генерации второй гармоники в двумерном электронном газе построена в §4.5. Вторая гармоника излучается краевыми токами  $j_{2\omega}(x,t) = j_{2\omega}(x) \mathrm{e}^{-2\mathrm{i}\omega t} + j_{2\omega}^*(x) \mathrm{e}^{2\mathrm{i}\omega t}$  на частоте  $2\omega$ , которые возбуждаются переменным электромагнитным полем терагерцового диапазона, рис. 7. Примечательно, что эти токи имеют компоненты как вдоль края, так и перпендикулярно ему. Если падающее электрическое поле поляризовано перпендикулярно краю,  $E_{\omega} \perp y$  на рис. 7(b), то ток  $j_{2\omega}$  также направлен перпендикулярно краю. Электрическое поле, которое содержит и параллельную, и перпендикулярную краю составляющие, приводит к генерации тока  $j_{2\omega}$  вдоль края, рис. 7(a). Поляризация излучаемых волн на частоте  $2\omega$ , в свою очередь, зависит от направления  $j_{2\omega}$ . Так, ток  $j_{2\omega}$ , протекающий вдоль края, излучает электромагнитные волны с полем  $E_{2\omega}$ , параллельным краю, в то время как ток, осциллирующий в направлении, перпендикулярном краю, излучает волны с полем  $E_{2\omega}$ , лежащем в плоскости (x,z), рис. 7.

В рамках кинетической теории, учитывающей динамическую экранировку падающего электрического поля двумерными электронами,

рассчитано пространственное распределение плотности краевого тока на удвоенной частоте  $j_{2\omega}(x)$  и частотные зависимости интегрального краевого тока  $J_{2\omega}=\int_0^\infty j_{2\omega}(x)dx$ . Показано, что при больших значениях  $\omega \tau$  зависимость плотности тока от координаты x носит осциллирующий характер. Эти осцилляции вызваны возбуждением краевых плазмонов с волновыми векторами  $q\sim\omega^2/(2\pi ne^2)$  [A16]. Изученный эффект можно рассматривать как низкоразмерный аналог поверхностного эффекта генерации второй гармоники в трёхмерных металлах [35–40], однако полученные ранее результаты нельзя напрямую применить к генерации второй гармоники на краю из-за особенностей экранирования и растекания тока в двумерных системах [41, 42].

В главе 5 диссертации «Фотоиндуцированные эффекты Холла и Фарадея в двумерном электронном газе» развита теория фотоиндуцированных эффектов Холла и Фарадея в режиме внутризонного транспорта. §5.1 содержит краткий обзор нелинейных эффектов, пропорциональных третьей степени падающего электромагнитного поля. Среди них – фотоиндуцированные эффекты Холла и Фарадея, когда циркулярно поляризованная накачка приводит к появлению электрического тока в направлении, перпендикулярном тянущему электрическому полю (эффект Холла), и повороту плоскости поляризации линейно поляризованной зондирующей волны (эффект Фарадея), рис. 8(а). В этом случае индуцируемые токи (или поляризация среды) на частоте зондирующего поля  $\omega$  имеют вид  $j_\omega \propto E_\omega E_\Omega E_\Omega^*$ , где  ${\pmb E}_\Omega$  – электрическое поле накачки на частоте  $\Omega$  и  $E_{\omega}$  – зондирующее поле. Такие эффекты не требуют отсутствия центра инверсии, и следовательно, могут наблюдаться в однородных и изотропных двумерных системах. Индуцированные накачкой эффекты Холла и Фарадея исследовались ранее, в основном, в бесстолкновительном режиме сильного поля или в условиях оптической ориентации спинов при межзонных переходах [43, 44]. В диссертации изучены механизмы, соответствующие классическому диапазону частот,  $\hbar\omega\ll\varepsilon_F$ , когда изучаемые явления определяются кинетикой электронов в присутствии электрических полей и рассеивающих примесей.

Фотоиндуцированные эффекты Холла и Фарадея связаны с появлением недиагональных компонент тензора статической или высокочастотной проводимости по отношению к зондирующему полю, линейных по интенсивности поля накачки. В однородном двумерном электронном газе эти компоненты имеют вид

$$\sigma_{xy} = (\gamma_2 S_2 + \gamma_3 S_3) |\mathbf{E}_{\Omega}|^2, \quad \sigma_{yx} = (\gamma_2 S_2 - \gamma_3 S_3) |\mathbf{E}_{\Omega}|^2,$$
 (9)

где  $\gamma_{2,3}$  – комплексные параметры, зависящие, в общем случае, от  $\Omega$  и  $\omega$ , и  $S_{2,3}$  – параметры Стокса накачки. Недиагональные компоненты тензора проводимости приводят к появлению поперечного тока  $j_{\omega} \perp E_{\omega}$ , который, как следует из (9), максимален для циркулярно поляризованной накачки и линейно поляризованной накачки с вектором  $E_{\Omega}$ , направленным под углом  $\pm \pi/4$  к полю  $E_{\omega}$ , и исчезает, когда  $E_{\Omega} \parallel E_{\omega}$  или  $E_{\Omega} \perp E_{\omega}$ .

В §5.2 рассчитаны параметры  $\gamma_2$  и  $\gamma_3$  для случая статического тянущего поля ( $\omega=0$ ). Появление холловского тока связано с двумя механизмами – оптическим выстраиванием импульсов свободных носителей заряда и динамическим нагревом и охлаждением электронного газа, вызванными совместным действием статического и переменного полей. Разогревный механизм преобладает при  $\Omega \tau_0 \lesssim 1$ , где  $\tau_0$  – время энергетической релаксации, а с увеличением частоты при  $\Omega \tau_0 \gg 1$  оба вклада становятся сравнимыми. Действие циркулярно поляризованного излучения эквивалентно наличию некоторого эффективного (или «синтетического») магнитного поля  $\mathbf{B}_{\rm syn} \parallel z$  в классическом эффекте Холла. Показано, что в частотной области  $\Omega \tau \sim 1$  величина такого синтетического магнитного поля в графене составляет  $\sim 10$  мТ на 1 кВт/см² падающей интенсивности.

В §5.3 изучены индуцированные циркулярно поляризованной накачкой эффекты Фарадея и Керра, рис. 8. В §5.3.1 приведены выражения для углов вращения и эллиптичности прошедшей ( $\theta_F$  и  $\varepsilon_F$ ) и отражённой ( $\theta_K$  и  $\varepsilon_K$ ) зондирующей волны в двумерном проводящем слое, помещённом между двумя диэлектрическими средами с различными показателями преломления. Эффекты связаны с недиагональ-

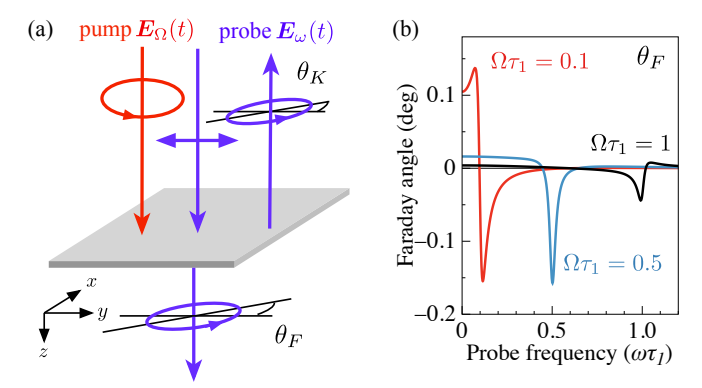


Рис. 8: (а) Схематическое изображение индуцированных накачкой эффектов Фарадея и Керра в двумерной системе.  $\theta_F$  и  $\theta_K$  – фарадеевский и керровский углы поворота, соответственно. (b) Фарадеевский угол вращения  $\theta_F$  двумерного электронного газа в двуслойном графене, помещённом на подложку. Три кривые отвечают трём значениям частоты накачки:  $\Omega \tau_1 = 0.1, \ 0.5, \ 1.$  Интенсивность накачки  $I_{\Omega} = 1 \ \mathrm{kBT/cm^2}.$ 

ной компонентной высокочастотной проводимости  $\sigma_{xy} = -\sigma_{yx}$ , возникающей под действием накачки. Показано, что в случае значительного диэлектрического контраста фарадеевский и керровский углы вращения и соответствующие эллиптичности связаны между собой как  $\theta_K/\theta_F = \epsilon_K/\epsilon_F \approx t_{12}/r_{12}$ , где  $t_{12}$  и  $r_{12}$  – амплитудные коэффициенты прохождения и отражения излучения, падающего на границу двух диэлектриков в отсутствие слоя с двумерными электронами.

В §5.3.2 получены аналитические выражения для компоненты  $\sigma_{xy}(\omega,\Omega)$  в электронном газе с линейным и параболическим законом дисперсии. На рис. 8(b) представлены результаты расчёта угла вращения Фарадея для электронов в двуслойном графене. В зависимости угла вращения от частоты  $\omega$  зондирующего поля наблюдаются резкие резонансы в области, где  $\omega$  близка к частоте накачки  $\Omega$ . При  $\Omega \tau \lesssim 1$  и интенсивности накачки  $I_{\Omega}=1$  кВт/см² фарадеевский угол вблизи резонанса достигает  $\theta_F \sim 0.1^\circ$  [A18]. Схожие значения фарадеевского вращения  $\theta_F \sim 1^\circ$  обнаружены в недавней экспериментальной работе [45] в массиве дисков из двуслойного графена при накачке и зондировании полями терагерцового диапазона (f=3.5 ТГц) в условиях плазмонного

резонанса.

#### В Заключении обобщены основные результаты работы:

- 1. Построена теория тонкой структуры энергетического спектра двумерных дираковских состояний в квантовых ямах  $\operatorname{HgTe}/\operatorname{CdHgTe}$  с произвольной кристаллографической ориентацией вида (0lh), где l и h индексы Миллера. Показано, что спектр дираковских состояний в квантовых ямах  $\operatorname{HgTe}/\operatorname{CdHgTe}$  вблизи топологического перехода в общем случае содержит четыре вейлевские точки, положение которых определяется конкуренцией объёмной, интерфейсной и структурной асимметрии квантовой ямы.
- 2. Предсказана сильная анизотропия эффекта Зеемана для краевых спиральных состояний в двумерном топологическом изоляторе на основе квантовой ямы HgTe/CdHgTe в магнитном поле, лежащем в плоскости ямы.
- 3. Показано, что благодаря отсутствию центра инверсии в квантовых ямах HgTe/CdHgTe, прямые оптические переходы между спиральными состояниями со спином «вверх» и «вниз» возникают не только в магнитном дипольном приближении, но и в значительно более сильном электрическом дипольном приближении.
- 4. Развита теория циркулярного фотогальванического эффекта, возникающего за счёт прямых электрических дипольных переходов внутри спиральных краевых каналов двумерных топологических изоляторов. Показано, что интерференция электрических дипольных и магнитных дипольных оптических переходов внутри спирального краевого канала приводит к линейному эффекту фотонного увлечения при нормальном падении излучения, а также к циркулярному дихроизму.
- 5. Описаны экспериментальные данные по циркулярному краевому фотогальваническому эффекту, полученные в образцах с квантовыми ямами HgTe/CdHgTe в фазе топологического изолятора. По-

- казано, что наибольший вклад в экспериментально наблюдаемый фототок связан с фотоионизацией краевых каналов.
- 6. Предложен механизм генерации краевых фототоков в двумерных системах в сильных магнитных полях, соответствующих режиму квантового эффекта Холла. Появление тока вызвано непрямыми оптическими переходами в киральных краевых каналах. Построена теория такого кирального фотогальванического эффекта, которая позволила объяснить характерные особенности фототока, измеренного в графене, смену направления тока при смене знака магнитного поля и нечувствительность направления тока к типу носителей заряда (электроны или дырки) в киральных каналах.
- 7. На основе сопоставления расчетов в методе функционала плотности, эмпирической модели сильной связи и  $k \cdot p$ -методе получены параметры 6-зонной  $k \cdot p$ -модели для атомарно тонких кристаллов  $\text{MoS}_2$ ,  $\text{MoSe}_2$ ,  $\text{WS}_2$  и  $\text{WSe}_2$ . Полученные параметры хорошо описывают не только дисперсию электронных зон, но и экспериментально наблюдаемые величины зеемановского расщепления экситонов и экситонных комплексов в этих кристаллах.
- 8. Разработана теория краевого фотогальванического эффекта, возникающего при межзонных оптических переходах в двумерных дираковских материалах. Показано, что краевой ток течёт в узкой полоске вблизи края шириной порядка длины свободного пробега носителей заряда и имеет две составляющие электронную и дырочную. Суммарный ток отличен от нуля при нарушении электрон-дырочной симметрии энергетического спектра или рассеяния, а также в магнитном поле, направленном по нормали к слою.
- 9. Развита последовательная теория краевых фототоков при внутризонном транспорте свободных носителей заряда в двумерных проводящих системах. Исследованы механизмы генерации краевого тока и получены аналитические выражения, справедливые для

- произвольной энергетической дисперсии электронов и произвольного рассеивающего потенциала. Построенная теория качественно и количественно описывает экспериментальные данные по краевым фототокам, полученные на образцах двуслойного графена.
- 10. Показано, что в достаточно сильных магнитных полях, когда циклотронная частота близка к частоте возбуждающего излучения, краевой фототок усиливается резонансным образом. Предсказанный циклотронный резонанс в краевом токе впоследствии наблюдался экспериментально на образцах двуслойного графена в университете г. Регенсбурга.
- 11. Предсказан и теоретически исследован краевой эффект генерации второй гармоники. Краевой ток на удвоенной частоте имеет компоненты как вдоль края, так и перпендикулярно ему, которые излучают электромагнитные волны на частоте  $2\omega$  с различными поляризациями. Показано, что при  $\omega \tau > 1$ , где  $\tau$  время релаксации импульса, пространственное распределение тока содержит осцилляции, вызванные возбуждением краевых плазмонов.
- 12. Построена кинетическая теория фотоиндуцированных эффектов Холла и Фарадея в двумерном электронном газе. Эффекты связаны с появлением поперечной проводимости двумерных электронов  $\sigma_{xy}$  под действием циркулярно поляризованного электрического поля накачки. Установлено, что действие циркулярно поляризованного излучения терагерцового диапазона с интенсивностью 1 кВт/см² на электроны в графене эквивалентно наличию эффективного («синтетического») магнитного поля величиной  $\sim 10-100$  мТ.

## Список публикаций по теме диссертации

- A1. Photogalvanic probing of helical edge channels in two-dimensional HgTe topological insulators / K.-M. Dantscher, D. A. Kozlov, M. T. Scherr, S. Gebert, J. Bärenfänger, M. V. Durnev, S. A. Tarasenko, V. V. Bel'kov, N. N. Mikhailov, S. A. Dvoretsky, Z. D. Kvon, J. Ziegler, D. Weiss, S. D. Ganichev // Phys. Rev. B. 2017. Vol. 95, issue 20. P. 201103.
- A2. Durnev M. V., Tarasenko S. A. Magnetic field effects on edge and bulk states in topological insulators based on HgTe/CdHgTe quantum wells with strong natural interface inversion asymmetry // Phys. Rev. B. — 2016. — Vol. 93. — P. 075434.
- A3. Durnev M. V., Tarasenko S. A. Optical properties of helical edge channels in zinc-blende-type topological insulators: selection rules, circular and linear dichroism, circular and linear photocurrents // Journal of Physics: Condensed Matter. 2019. Vol. 31, no. 3. P. 035301.
- А4. Дурнев М., Будкин Г., Тарасенко С. Расщепление дираковских состояний в квантовых ямах HgTe. Роль кристаллографической ориентации, интерфейсной, объемной и структурной асимметрии // ЖЭТФ. 2022. Т. 162. С. 570.
- А5. Дурнев M. Влияние электрон-дырочной асимметрии на электронную структуру спиральных краевых состояний в квантовой яме HgTe/HgCdTe //  $\Phi TT$ . -2020. -T. 62. -C. 447.
- A6. Durnev M. V., Tarasenko S. A. High-frequency nonlinear transport and photogalvanic effects in 2D topological insulators // Annalen der Physik. — 2019. — Vol. 531. — P. 1800418.
- A7. Edge currents driven by terahertz radiation in graphene in quantum Hall regime / H. Plank, M. V. Durnev, S. Candussio, J. Pernul, K.-M. Dantscher, E. Mönch, A. Sandner, J. Eroms, D. Weiss, V. V. Bel'kov, S. A. Tarasenko, S. D. Ganichev // 2D Materials. 2019. Vol. 6, no. 1. P. 011002.

- A8. Edge photocurrent driven by terahertz electric field in bilayer graphene / S. Candussio, M. V. Durnev, S. A. Tarasenko, J. Yin, J. Keil, Y. Yang, S.-K. Son, A. Mishchenko, H. Plank, V. V. Bel'kov, S. Slizovskiy, V. Fal'ko, S. D. Ganichev // Phys. Rev. B. 2020. Vol. 102, issue 4. P. 045406.
- А9. Дурнев М., Глазов М. М. Экситоны и трионы в двумерных полупроводниках на основе дихалькогенидов переходных металлов // Успехи физических наук. 2018. Т. 188, № 9. С. 913—934.
- A10. Rybkovskiy D. V., Gerber I. C., Durnev M. V. Atomically inspired  $k \cdot p$  approach and valley Zeeman effect in transition metal dichalcogenide monolayers // Phys. Rev. B. 2017. Vol. 95, issue 15. P. 155406.
- A11. Zeeman splitting and inverted polarization of biexciton emission in monolayer WS<sub>2</sub> / P. Nagler, M. V. Ballottin, A. A. Mitioglu, M. V. Durnev, T. Taniguchi, K. Watanabe, A. Chernikov, C. Schüller, M. M. Glazov, P. C. M. Christianen, T. Korn // Phys. Rev. Lett. 2018. Vol. 121, issue 5. P. 057402.
- A12. Durnev M. V., Tarasenko S. A. Edge photogalvanic effect caused by optical alignment of carrier momenta in two-dimensional Dirac materials // Phys. Rev. B. 2021. Vol. 103, issue 16. P. 165411.
- A13. Edge photocurrent in bilayer graphene due to inter-Landau-level transitions / S. Candussio, M. V. Durnev, S. Slizovskiy, T. Jötten, J. Keil, V. V. Bel'kov, J. Yin, Y. Yang, S.-K. Son, A. Mishchenko, V. Fal'ko, S. D. Ganichev // Phys. Rev. B. 2021. Vol. 103, issue 12. P. 125408.
- A14. Durnev M. V., Tarasenko S. A. Rectification of ac electric current at the edge of 2D electron gas // Physica status solidi (b). 2021. Vol. 258. P. 2000291.
- A15. Durnev M. V., Tarasenko S. A. Edge currents induced by ac electric field in two-dimensional Dirac structures // Applied Sciences. 2023. Vol. 13, no. 7. P. 4080.

- A16. Durnev M. V., Tarasenko S. A. Second harmonic generation at the edge of a two-dimensional electron gas // Phys. Rev. B. 2022. Vol. 106, issue 12. P. 125426.
- A17. Durnev M. V. Photovoltaic Hall effect in the two-dimensional electron gas: Kinetic theory // Phys. Rev. B. 2021. Vol. 104, issue 8. P. 085306.
- A18. Durnev M. V. Faraday and Kerr rotation due to photoinduced orbital magnetization in a two-dimensional electron gas // Phys. Rev. B. 2023. Vol. 108, issue 12. P. 125418.

### Список цитируемой литературы

- 1. Wehling T., Black-Schaffer A., Balatsky A. Dirac materials // Advances in Physics. 2014. Vol. 63, no. 1. P. 1–76.
- The electronic properties of graphene / A. H. Castro Neto, F. Guinea, N. M. R. Peres, K. S. Novoselov, A. K. Geim // Rev. Mod. Phys. — 2009. — Vol. 81, issue 1. — P. 109–162.
- Geim A. K., Grigorieva I. V. Van der Waals heterostructures // Nature. — 2013. — Vol. 499, no. 7459. — P. 419–425.
- Quantum Spin Hall Insulator State in HgTe Quantum Wells / M. König, S. Wiedmann, C. Brüne, A. Roth, H. Buhmann, L. W. Molenkamp, X.-L. Qi, S.-C. Zhang // Science. 2007. Vol. 318, no. 5851. P. 766–770.
- Топологические изоляторы на основе HgTe / З. Д. Квон, Д. А. Козлов, Е. Б. Ольшанецкий, Г. М. Гусев, Н. Н. Михайлов, С. А. Дворецкий // Усп. физ. наук. 2020. Т. 190, № 7. С. 673—692.
- Nonlinear Optical Characterization of 2D Materials / L. Zhou, H. Fu, T. Lv, C. Wang, H. Gao, D. Li, L. Deng, W. Xiong // Nanomaterials. 2020. Vol. 10, no. 11. P. 2263.

- Photodetectors based on graphene, other two-dimensional materials and hybrid systems / F. H. L. Koppens, T. Mueller, P. Avouris, A. C. Ferrari, M. S. Vitiello, M. Polini // Nature Nanotechnology. 2014. Vol. 9, no. 10. P. 780–793.
- 8. Single valley Dirac fermions in zero-gap HgTe quantum wells / B. Buttner, C. X. Liu, G. Tkachov, E. G. Novik, C. Brune, H. Buhmann, E. M. Hankiewicz, P. Recher, B. Trauzettel, S. C. Zhang, L. W. Molenkamp // Nat. Physics. 2011. Vol. 7, no. 5. P. 418–422.
- 9. Helical edge and surface states in HgTe quantum wells and bulk insulators / X. Dai, T. L. Hughes, X.-L. Qi, Z. Fang, S.-C. Zhang // Phys. Rev. B. 2008. Vol. 77, issue 12. P. 125319.
- The Quantum Spin Hall Effect: Theory and Experiment / M. König,
   H. Buhmann, L. W. Molenkamp, T. Hughes, C.-X. Liu, X.-L. Qi,
   S.-C. Zhang // Journal of the Physical Society of Japan. 2008. —
   Vol. 77, no. 3. P. 031007.
- Robust level coincidences in the subband structure of quasi-2D systems / R. Winkler, L. Wang, Y. Lin, C. Chu // Solid State Communications. 2012. Vol. 152, no. 23. P. 2096–2099.
- 12. Weithofer L., Recher P. Chiral Majorana edge states in HgTe quantum wells // New Journal of Physics. 2013. Vol. 15, no. 8. P. 085008.
- Split Dirac cones in HgTe/CdTe quantum wells due to symmetry-enforced level anticrossing at interfaces / S. A. Tarasenko, M. V. Durnev, M. O. Nestoklon, E. L. Ivchenko, J.-W. Luo, A. Zunger // Phys. Rev. B. 2015. Vol. 91, issue 8. P. 081302.
- Spin-orbit splitting of valence and conduction bands in HgTe quantum wells near the Dirac point / G. M. Minkov, A. V. Germanenko,
   O. E. Rut, A. A. Sherstobitov, M. O. Nestoklon, S. A. Dvoretski,
   N. N. Mikhailov // Phys. Rev. B. 2016. Vol. 93, issue 15. —
   P. 155304.

- Bernevig B. A., Hughes T. L., Zhang S.-C. Quantum Spin Hall Effect and Topological Phase Transition in HgTe Quantum Wells // Science. — 2006. — Vol. 314, no. 5806. — P. 1757–1761.
- 16. Алейнер И., Ивченко Е. Л. Природа анизотропного обменного расщепления в сверхрешётках GaAs/AlAs типа II // Письма в ЖЭТФ. 1992. Т. 55. С. 662.
- Topological Protection Brought to Light by the Time-Reversal Symmetry Breaking / S. U. Piatrusha, E. S. Tikhonov, Z. D. Kvon, N. N. Mikhailov, S. A. Dvoretsky, V. S. Khrapai // Phys. Rev. Lett. 2019. Vol. 123, issue 5. P. 056801.
- Optically Engineering the Topological Properties of a Spin Hall Insulator / B. Dóra, J. Cayssol, F. Simon, R. Moessner // Phys. Rev. Lett. 2012. Vol. 108, issue 5. P. 056602.
- 19. Artemenko S. N., Kaladzhyan V. O. Photogalvanic effects in topological insulators // JETP Letters. 2013. Vol. 97, no. 2. P. 82–86.
- Kaladzhyan V., Aseev P. P., Artemenko S. N. Photogalvanic effect in the HgTe/CdTe topological insulator due to edge-bulk optical transitions // Phys. Rev. B. 2015. Vol. 92, issue 15. P. 155424.
- 21. Магарилл Л. И., Энтин М. В. Циркулярный фотогальванический эффект, вызванный переходами между краевыми и двумерными состояниями двумерного топологического изолятора // Письма в ЖЭТФ. 2016. Т. 104. С. 792.
- Hasan M. Z., Kane C. L. Colloquium: Topological Insulators // Rev. Mod. Phys. — 2010. — Vol. 82, issue 4. — P. 3045–3067.
- 2D materials and van der Waals heterostructures / K. S. Novoselov,
   A. Mishchenko, A. Carvalho, A. H. Castro Neto // Science. —
   2016. Vol. 353, no. 6298. aac9439.

- Colloquium: Excitons in atomically thin transition metal dichalcogenides / G. Wang, A. Chernikov, M. M. Glazov, T. F. Heinz, X. Marie, T. Amand, B. Urbaszek // Rev. Mod. Phys. 2018. Vol. 90, issue 2. P. 021001.
- 25. Exciton diamagnetic shifts and valley Zeeman effects in monolayer WS<sub>2</sub> and MoS<sub>2</sub> to 65 Tesla / A. V. Stier, K. M. McCreary, B. T. Jonker, J. Kono, S. A. Crooker // Nat Commun. 2016. Vol. 7. P. 10643.
- 26. Mirlin D. Optical orientation / ed. by F. Meier, B. P. Za-kharchenya. North-Holland, Amsterdam, 1984. Chap. IV.
- 27. Меркулов И., Перель В., Портной М. Выстраивание импульсов и ориентация спинов фотовозбужденных электронов в квантовых ямах // ЖЭТФ. 1991. Т. 99, № 4. С. 1202.
- 28. *Магарилл Л. И.*, Э*нтин М. В.* Фотогальванический эффект в пленках // ФТТ. 1979. Т. 21, № 5. С. 1280.
- 29. Поверхностный фотогальванический эффект в твердых телах. Теория и эксперимент для межзонных переходов в арсениде галлия / В. Л. Альперович, В. И. Белиничер, В. Н. Новиков, А. С. Терехов // ЖЭТФ. — 1981. — Т. 80, № 6. — С. 2298—2311.
- 30. Gurevich V. L., Laiho R. Photomagnetism of metals: Microscopic theory of the photoinduced surface current // Phys. Rev. B. 1993. Vol. 48, issue 11. P. 8307–8316.
- Ultrafast magneto-photocurrents in GaAs: Separation of surface and bulk contributions / C. B. Schmidt, S. Priyadarshi, S. A. Tarasenko, M. Bieler // Applied Physics Letters. 2015. Vol. 106, no. 14. P. 142108.
- 32. Interplay of the photon drag and the surface photogalvanic effects in the metal-semiconductor nanocomposite / G. M. Mikheev, A. S. Saushin, V. M. Styapshin, Y. P. Svirko // Scientific Reports. 2018. Vol. 8, no. 1. P. 8644.

- 33. Edge Nonlinear Optics on a MoS<sub>2</sub> Atomic Monolayer / X. Yin, Z. Ye, D. A. Chenet, Y. Ye, K. O'Brien, J. C. Hone, X. Zhang // Science. 2014. Vol. 344, no. 6183. P. 488–490.
- 34. Edge effects in second-harmonic generation in nanoscale layers of transition-metal dichalcogenides / E. D. Mishina, N. E. Sherstyuk, A. P. Shestakova, S. D. Lavrov, S. V. Semin, A. S. Sigov, A. Mitioglu, S. Anghel, L. Kulyuk // Semiconductors. 2015. Vol. 49, no. 6. P. 791–796.
- 35. Jha S. S. Theory of Optical Harmonic Generation at a Metal Surface // Phys. Rev. 1965. Vol. 140, 6A. A2020–A2030.
- Optical Second-Harmonic Generation in Reflection from Media with Inversion Symmetry / N. Bloembergen, R. K. Chang, S. S. Jha, C. H. Lee // Phys. Rev. — 1968. — Vol. 174, issue 3. — P. 813–822.
- 37. Rudnick J., Stern E. A. Second-Harmonic Radiation from Metal Surfaces // Phys. Rev. B. 1971. Vol. 4, issue 12. P. 4274—4290.
- 38. Analysis of second-harmonic generation at metal surfaces / J. E. Sipe, V. C. Y. So, M. Fukui, G. I. Stegeman // Phys. Rev. B. 1980. Vol. 21, issue 10. P. 4389–4402.
- Surface and bulk contributions to the second-order nonlinear optical response of a gold film / F. X. Wang, F. J. Rodriguez, W. M. Albers, R. Ahorinta, J. E. Sipe, M. Kauranen // Phys. Rev. B. 2009. Vol. 80, issue 23. P. 233402.
- 40. Second harmonic generation hotspot on a centrosymmetric smooth silver surface / M. Galanty, O. Shavit, A. Weissman, H. Aharon, D. Gachet, E. Segal, A. Salomon // Light: Science and Applications. — 2018. — Vol. 7, no. 1. — P. 49.
- 41. Волков В. А., Михайлов С. А. Краевые магнетоплазмоны: низкочастотные слабозатухающие возбуждения в неоднородных двумерных электронных системах // ЖЭТФ. 1988. Т. 94. С. 217.

- 42. Mikhailov S. A., Savostianova N. A. Microwave response of a two-dimensional electron stripe // Phys. Rev. B. 2005. Vol. 71, issue 3. P. 035320.
- 43. Oka T., Aoki H. Photovoltaic Hall effect in graphene // Phys. Rev. B. 2009. Vol. 79, issue 8. P. 081406.
- 44. *Глазов М. М.* Когерентная спиновая динамика электронов и экситонов в наноструктурах //  $\Phi$ TT. 2012. Т. 54. С. 3.
- 45. Strong transient magnetic fields induced by THz-driven plasmons in graphene disks / J. W. Han, P. Sai, D. B. But, E. Uykur, S. Winnerl, G. Kumar, M. L. Chin, R. L. Myers-Ward, M. T. Dejarld, K. M. Daniels, T. E. Murphy, W. Knap, M. Mittendorff // Nature Communications. 2023. Vol. 14, no. 1. P. 7493.